

## МЕЖДУЗОННЫЕ ИК ПЕРЕХОДЫ В ОДНООСНО ДЕФОРМИРОВАННОМ УЗКОЩЕЛЕВОМ ПОЛУПРОВОДНИКЕ

Васько Ф. Т., Стриха М. В.

Показано, что темп междузонных ИК переходов в деформированном узкощелевом полупроводнике существенно изменяется уже при малых деформациях, когда величина индуцированного сжатием расщепления между подзонами валентной зоны становится сравнимой с тепловой энергией дырок. При этом скорость излучательной рекомбинации увеличивается, а на зависимости коэффициента собственного поглощения от частоты излучающего излучения появляется характерный излом, связанный с включением переходов из нижней валентной подзоны. Результаты расчета находятся в хорошем соответствии с экспериментальными данными.

1. Одноосная деформация узкощелевых полупроводников качественно изменяет их энергетический спектр, приводя к снятию вырождения зон симметрии  $\Gamma_8$  в точке экстремума [1]. Существенные изменения как гальваномагнитных явлений [2], так и далких ИК переходов между состояниями  $\Gamma_8$  [3] имеют место, когда энергия расщепления экстремумов зон  $\epsilon_0$  сравнивается со средней энергией дырок в материалах  $p$ -типа. В этой работе показано, что характер междузонных (между состояниями  $\Gamma_6$  и  $\Gamma_8$ ) ИК переходов также заметно изменяется, хотя  $\epsilon_0$  остается малой по сравнению с шириной запрещенной зоны  $\epsilon_g$ , величина которой незначительно изменяется за счет гидростатической компоненты деформации. Проведен расчет коэффициентов поглощения  $\alpha_{\perp, \perp}(\omega)$  [для поляризации излучения вдоль оси деформации ( $\parallel$ ) и в плоскости, перпендикулярной этой оси ( $\perp$ )], а также времени излучательной рекомбинации  $\tau_R$ . Рассматриваются узкощелевые полупроводники при одноосном сжатии вдоль кубической оси (001) образца со свободными боковыми поверхностями.<sup>1</sup> Выполнены численные оценки  $\alpha_{\perp, \perp}(\omega)$  для параметров InSb, а также проведен расчет изменения  $\tau_R$  с давлением, количественно согласующийся с измерениями на Cd<sub>0.8</sub>Hg<sub>0.7</sub>Te [4].

Причина существенных изменений темпа междузонных ИК переходов уже при малой ( $\epsilon_0 \ll \epsilon_g$ ) деформации состоит в том, что величина расщепления валентной зоны  $\epsilon_0$  становится сравнимой с характерной энергией дырок, участвующих в этих переходах. При сжатии состояния тяжелых и легких дырок смешиваются [теперь следует говорить о  $v_{\pm}$ -состояниях (рис. 1)], а их эффективные массы значительно изменяются и равны  $m/(\gamma_1 \pm 2\gamma)$  для продольного и  $m/(\gamma_1 \mp \gamma)$  для поперечного направлений ( $m$  — масса свободного электрона,  $\gamma_1, \gamma \approx \gamma_2$ ,  $\gamma$  — параметры Латтинжера изотропного приближения). Заметно изменяются также матричные элементы перехода между  $c$ - и  $v_{\pm}$ -зонами, что обуславливает анизотропию междузонного коэффициента поглощения и определяет характер спектральных зависимостей вблизи порогов переходов в  $v_{\pm}$ -зоны, причем переход в  $v_-$ -состояние для параллельной оси деформации поляризации из-

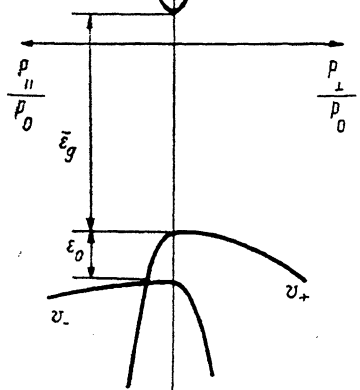
<sup>1</sup> В случае широкозонных материалов схема теоретических расчетов аналогична, но ситуация более громоздка, так как спин-отщепленная зона симметрии  $\Gamma_7$ , также сильно возмущается деформацией, и вместо рассматриваемой здесь трехзонной модели Кейна надо использовать четырехзонную. Для случая растяжения образца рассмотрение также аналогично, а изменение результатов обусловлено иной картиной энергетического спектра.

лучения оказывается запрещенным. Поскольку эффективные массы  $v_{+}$ -зоны заметно уменьшаются по сравнению с массой тяжелых дырок недеформированного материала [равной  $m/(\gamma_1 - 2\gamma)$ ], с ростом  $\epsilon_0$  большая часть дырок термализуется в области малых импульсов, так что прямые излучательные переходы из  $c$ -зоны будут идти более интенсивно, т. е. время излучательной рекомбинации падает с ростом сжатия. В сильно легированных материалах  $n$ -типа число участвующих в процессе рекомбинации дырок не изменяется с деформацией и  $\epsilon_0$

возрастает, так как переходы идут лишь в область малых импульсов  $v_{+}$ -зоны, а соответствующий матричный элемент уменьшается по сравнению с матричным элементом при отсутствии деформации. Отметим также, что описание изменения заполнения состояний модифицирует эффект Мосса—Бурштейна в материалах  $n$ - и  $p$ -типа.

2. Электронные состояния в одноосно деформированном узкощелевом полупроводнике определяются при решении задачи на собственные значения

$$\left( \epsilon + \hat{V} \cdot p - \frac{p^2}{2m_h} \right) \Psi_p = \epsilon \Psi_p, \quad (1)$$



из которой в импульсном представлении находятся шестирядный столбец огибающих волновых функций  $\Psi_p$  и вырожденный по спину энергетический спектр  $\epsilon_{np}$  ( $n = c, v_{\pm}$ ). Здесь  $m_h$  — эффективная масса тяжелых дырок, изменение которой при деформации мало, а вводимый аналогично [4, 5] оператор скорости определен эрмитовыми  $6 \times 6$  матрицами, ненулевые компоненты которых даются выражениями

Рис. 1. Изменение энергетического спектра узкощелевого полупроводника, описываемого трехзонной моделью Кейна, при одноосном сжатии.

$$V_{13}^x = V_{26}^x = \mathcal{P}/\sqrt{2}, \quad V_{16}^x = -V_{24}^x = -\mathcal{P}/\sqrt{6}, \quad V_{14}^z = V_{25}^z = \mathcal{P}\sqrt{\frac{2}{3}}, \\ V_{13}^y = -V_{26}^y = -i\mathcal{P}/\sqrt{2}, \quad V_{15}^y = V_{24}^y = -i\mathcal{P}/\sqrt{6}, \quad (2)$$

$\mathcal{P}$  — характеристическая кейновская скорость. При ориентации деформации вдоль кубической оси положения экстремумов зон определяются диагональной матрицей  $\epsilon$ , компоненты которой равны (отсчитываем энергию от минимума  $c$ -зоны недеформированного кристалла)

$$\epsilon_{11} = \epsilon_{22} = C\bar{\epsilon}, \quad \epsilon_{33} = \epsilon_{66} = -\epsilon_g + a\bar{\epsilon} - \epsilon_0/2, \quad \epsilon_{44} = \epsilon_{55} = -\epsilon_g + a\bar{\epsilon} + \epsilon_0/2, \quad (3)$$

где  $\epsilon$  — ширина запрещенной зоны недеформированного полупроводника, деформационные потенциалы  $C$  и  $a$  описывают смещение экстремумов  $c$ - и  $v$ -зон за счет гидростатической компоненты деформации, определяемой относительным изменением объема  $\bar{\epsilon} = \sum_i \epsilon_{ii}$ ,  $\epsilon_{ij}$  — тензор деформации. Деформационный потенциал  $b$  определяет энергию расщепления экстремумов валентной зоны  $\epsilon_0 = 2b(\epsilon_{zz} - \epsilon_{xx})$ , причем для рассматриваемого далее случая сжатия вдоль  $OZ$  получаем  $\epsilon_0 > 0$ . Как ширина запрещенной зоны сжатого полупроводника

$$\bar{\epsilon}_g = \epsilon_g + (C - a)\bar{\epsilon}, \quad (4)$$

так и энергия расщепления экстремумов  $\Gamma_8$   $\epsilon_0 = \chi P$  линейно растут с давлением  $P$ , приложенным к основаниям полупроводникового образца со свободными бо-

ковыми гранями. Явное выражение для  $\chi$  получаем, используя обычные соотношения теории упругости [6], численное значение этого коэффициента для InSb близко к 9 мэВ/кбар [2], а для  $Cd_xHg_{1-x}Te$  величина  $\chi$  несколько больше ( $\chi \approx 12$  мэВ/кбар для  $x=0.2$  [4]).

Решение задачи (1)–(3) на собственные значения приводит к определяющему энергетический спектр кубическому дисперсионному уравнению

$$(C\epsilon - E_{np}) \left[ (\tilde{\epsilon}_g - C\bar{\epsilon} + E_{np})^2 + \left(\frac{\epsilon_0}{2}\right)^2 \right] + \frac{2}{3} (\mathcal{P}^2 p)^2 (\tilde{\epsilon}_g - C\bar{\epsilon} + E_{np}) + \frac{\epsilon_0}{2} (\mathcal{P}^2 p)^2 P_2 \left( \frac{p_z}{p} \right) = 0, \quad (5)$$

в котором выделен вклад кинетической энергии тяжелых дырок  $E_{np} = \epsilon_{np} + p^2/2m_k$ ,  $P_2(x)$  — второй полином Лежандра, а  $n$  определяет номера  $c$ - и  $v_{\pm}$ -зон. Общий вид решений  $E_{np}$  весьма громоздок и упрощается лишь для малых импульсов. Для  $c$ -зоны реализуется эллипсоидальный энергетический спектр

$$\epsilon_{cp} = C\bar{\epsilon} + p_{\perp}^2/2m_{c1} + p_z^2/2m_{c1}, \quad p_{\perp}^2 = p^2 - p_z^2, \\ m_{c1}^{-1} = \frac{\mathcal{P}^2}{3(\tilde{\epsilon}_g - \epsilon_0/2)} + \frac{\mathcal{P}^2}{\tilde{\epsilon}_g + \epsilon_0/2}, \quad m_{c1}^{-1} = \frac{4}{3} \frac{\mathcal{P}^2}{\tilde{\epsilon}_g - \epsilon_0/2}, \quad (6)$$

так что анизотропия электронного закона дисперсии мала. Дырочный закон дисперсии вблизи экстремума резко анизотропен на масштабе энергий порядка  $\epsilon_0$  и для энергий, малых по сравнению с  $\epsilon_0$ , определяется стандартным [1] выражением

$$E_{v_{\pm}p} = -\epsilon_g + a\bar{\epsilon} - \frac{\gamma_1 p^2}{2m} \pm \sqrt{\left(\frac{\gamma_1 p^2}{m}\right)^2 - \frac{\gamma_1 p^2}{m} \epsilon_{np} P_2 \left( \frac{p_z}{p} \right) + \left(\frac{\epsilon_0}{2}\right)^2}, \quad (7)$$

причем эффективные массы, которые можно ввести для (7) при энергиях, много меньших  $\epsilon_0$ , приведены в п. 1 (см. также рис. 1).

Собственные функции задачи (1) даются выражениями

$$\Psi_{np+1} = C_{np} \begin{vmatrix} 1 \\ 0 \\ \frac{\mathcal{P}p_+}{\sqrt{2}(\tilde{\epsilon}_g - a\bar{\epsilon} - \epsilon_0/2 + \epsilon_{np})} \\ \sqrt{\frac{2}{3}} \frac{\mathcal{P}p_s}{(\tilde{\epsilon}_g - a\bar{\epsilon} - \epsilon_0/2 + \epsilon_{np})} \\ -\mathcal{P}p_- \\ \sqrt{6}(\tilde{\epsilon}_g - a\bar{\epsilon} - \epsilon_0/2 + \epsilon_{np}) \\ 0 \\ 0 \\ 1 \\ 0 \\ \mathcal{P}p_+ \\ \sqrt{6}(\tilde{\epsilon}_g - a\bar{\epsilon} - \epsilon_0/2 + \epsilon_{np}) \\ \sqrt{\frac{2}{3}} \frac{\mathcal{P}p_s}{(\tilde{\epsilon}_g - a\bar{\epsilon} - \epsilon_0/2 + \epsilon_{np})} \\ -\mathcal{P}p_- \\ \sqrt{2}(\tilde{\epsilon}_g - a\bar{\epsilon} + \epsilon_0/2 + \epsilon_{np}) \end{vmatrix}, \quad (8)$$

$$\Psi_{np-1} = C_{np} \begin{vmatrix} 0 \\ 0 \\ 1 \\ 0 \\ \mathcal{P}p_+ \\ \sqrt{6}(\tilde{\epsilon}_g - a\bar{\epsilon} - \epsilon_0/2 + \epsilon_{np}) \\ \sqrt{\frac{2}{3}} \frac{\mathcal{P}p_s}{(\tilde{\epsilon}_g - a\bar{\epsilon} - \epsilon_0/2 + \epsilon_{np})} \\ -\mathcal{P}p_- \\ \sqrt{2}(\tilde{\epsilon}_g - a\bar{\epsilon} + \epsilon_0/2 + \epsilon_{np}) \end{vmatrix},$$

в которых нормировочная постоянная не зависит от спинового квантового числа  $s = \pm 1$  и определяется из соотношения

$$|C_{np}|^2 = \left[ 1 + \frac{(\mathcal{P}p_1)^2}{2(\tilde{\epsilon}_g - a\bar{\epsilon} + \epsilon_0/2 + \epsilon_{np})^2} + \frac{2(\mathcal{P}p_s)^2/3 + (\mathcal{P}p_{\perp})^2/6}{(\tilde{\epsilon}_g - a\bar{\epsilon} - \epsilon_0/2 + \epsilon_{np})^2} \right]^{-1}. \quad (9)$$

В предельном случае  $\epsilon_0 \rightarrow 0$  для  $v_+$ -состояния (соответствующего при этом тяжелым дыркам) (9) обращается в нуль, и для записи волновой функции тяжелых дырок необходимо рассматривать неопределенность 0/0. При  $\epsilon_0 \rightarrow 0$  из (5) получается обычное [7] дисперсионное уравнение, а законы дисперсии (6), (7) становятся изотропными.

3. Коэффициент поглощения, поляризованного вдоль оси деформации (||) и в перпендикулярной плоскости (⊥) излучения, при переходах из заполненных  $v_\pm$ -зон в пустую  $c$ -зону определяется выражением

$$\alpha_{\perp, \perp}(\omega) = \frac{(2\pi e)^2}{\omega_c V} \sum_{\sigma \pm p} M_{\perp, \perp}(v_\pm p) \delta(\epsilon_{v_\pm p} + \hbar\omega - \epsilon_{cp}), \quad (10)$$

которое получается из формулы Кубо. Сюда входят нормировочный объем  $V$  и свернутый по спину квадрат матричного элемента перехода

$$M_{\perp, \perp}(v_\pm p) = \sum_{\sigma \sigma'} |(v_\pm \sigma' p | \hat{V}_{\perp, \perp} | c \sigma p)|^2, \quad (11)$$

а изотропная диэлектрическая проницаемость  $\epsilon$  здесь записана без учета вклада виртуальных междузонных переходов, которые дают основной вклад в ее деформационную зависимость [8]. Эти добавки малы по параметру  $\epsilon_0/\epsilon_g$  и могли бы проявиться лишь в условиях эффекта Мосса—Бурштейна, когда из порога насыщения возникнет логарифмическая особенность [9].

Анализ процессов излучательной рекомбинации проведем на основе выражения для частоты перехода неравновесного электрона из состояния  $|n \sigma p\rangle$  в пропущие свободные состояния  $|n' \sigma' p\rangle$ , используя записанную в дипольном приближении формулу

$$\tau_R(n, p)^{-1} = \frac{(2\pi e)^2}{\pi V} \sum_{q \mu} \omega_q^{-1} \sum_{n' \sigma'} |(n \sigma p | \hat{V} \cdot e_{q \mu} | n' \sigma' p)|^2 \delta(\epsilon_{n p} - \epsilon_{n' p} - \hbar\omega_q) [1 - f(\epsilon_{n' p})], \quad (12)$$

$q$  и  $\mu$  — волновой вектор и индекс поляризации излучаемого (с частотой  $\omega_q$  и ортом поляризации  $e_{q \mu}$ ) фотона,  $f(\epsilon)$  — функция распределения электронов. Интегрирование по направлениям  $q$  в (7) эквивалентно усреднению по направлениям орта поляризаций. После этого усреднения в  $\tau_R$  возникнет комбинация матричных элементов (11)

$$M_\perp(v_\pm p)/3 + 2M_{\perp, \perp}(v_\pm p)/3, \quad (13)$$

вычисление которой с использованием (8) дает не зависящую от квантовых чисел валентной зоны  $v_\pm p$  постоянную  $\mathcal{F}^2/3$ . В оставшемся интеграле по  $|q|$  можно заменить  $E_{n p} - E_{n' p}$  на  $\epsilon_g$ , и зависимость (12) от импульса будет обусловлена лишь статистическим фактором. Теперь темп излучательной рекомбинации определится размерным фактором

$$\tau_r^{-1} = \frac{2}{3} \frac{e^2}{\hbar c} \sqrt{\pi} \left( \frac{\mathcal{F}}{c} \right)^2 \frac{\epsilon_g}{\hbar}, \quad (14)$$

а зависимость от типа легирования и температуры фотовозбужденных неосновных носителей  $T$  определим, рассматривая уравнения баланса концентраций. Для неравновесных дырок с концентрацией  $n_g$  в материале  $n$ -типа или неравновесных электронов с концентрацией  $n_e$  в материале  $p$ -типа имеем

$$\frac{dn_g}{dt} = -\frac{2}{V} \sum_{v_\pm p} \frac{1 - f(\epsilon_{v_\pm p})}{\tau_R(v_\pm p)} = -\frac{n_g}{\tau_R^{(n)}}, \quad \frac{dn_e}{dt} = -\frac{2}{V} \sum_p \frac{f(\epsilon_{cp})}{\tau_R(c, p)} = -\frac{n_e}{\tau_R^{(p)}}, \quad (15)$$

причем правые равенства определяют времена излучательной рекомбинации, деформационная зависимость которых анализируется в п. 5.

Используя (2), (8) для входящего в написанные выше формулы квадрата матричного элемента перехода (11) при поляризации излучения вдоль оси деформации (||) и в поперечной плоскости (⊥), получаем

$$M_{\parallel}(v_{\pm} p) = \frac{4}{9} \mathcal{F}^2 (4p_x^2 + p_z^2) \left[ \frac{4p_x^2 + p_z^2}{3} + p_z^2 \Psi(v_{\pm}, p) \right]^{-1}, \quad (16)$$

$$M_{\perp}(v_{\pm} p) = \mathcal{F}^2 \left[ \frac{4p_x^2 + p_z^2}{9} + p_z^2 \Psi(v_{\pm}, p) \right] \left[ \frac{4p_x^2 + p_z^2}{3} + p_z^2 \Psi(v_{\pm}, p) \right]^{-1},$$

где функция  $\Psi(v_{\pm}, p)$  введена соотношением

$$\Psi(v_{\pm}, p) = \begin{cases} -\frac{\epsilon_0}{2} - \frac{\gamma p^2}{m} \pm \sqrt{\left(\frac{\gamma p^2}{m}\right)^2 - \frac{\gamma p^2}{m} \epsilon_0 P_2\left(\frac{p_x}{p}\right) + \left(\frac{\epsilon_0}{2}\right)^2} \\ \frac{\epsilon_0}{2} - \frac{\gamma p^2}{m} \pm \sqrt{\left(\frac{\gamma p^2}{m}\right)^2 - \frac{\gamma p^2}{m} \epsilon_0 P_2\left(\frac{p_x}{p}\right) + \left(\frac{\epsilon_0}{2}\right)^2} \end{cases}. \quad (17)$$

4. Переходя к расчету спектральной зависимости коэффициента поглощения (10), используем матричные элементы (16), безразмерные импульс и частоту  $x$  и  $\Omega$ , вводимые соотношениями

$$x = p/\sqrt{\epsilon_0 m/2\gamma}, \quad \Omega = 2(\hbar\omega - \epsilon_g)/\epsilon_0. \quad (18)$$

При этом в (10) выделяются размерный множитель

$$\alpha_0 = \frac{3}{2\pi} \frac{e^2}{\hbar c \sqrt{x}} \frac{\epsilon_g}{\hbar\omega} \sqrt{\frac{m\epsilon_0/2\gamma}{\hbar}} \quad (19)$$

и безразмерные функции  $\Phi_{\parallel, \perp}(\Omega)$ , определяющие спектральные зависимости

$$\alpha_{\parallel, \perp}(\omega) = \alpha_0 \sum_{(\pm)} \Phi_{\parallel, \perp}^{(\pm)}(\Omega),$$

$$\Phi_{\parallel, \perp}^{(\pm)}(\Omega) = \int dx \frac{\delta \left[ \Omega - \left( 2 + \frac{\gamma_1}{2\gamma} \right) x^2 \pm \sqrt{x^4 - x^2 P_2\left(\frac{x_1}{x}\right) + 1} \right]}{(4x_{\parallel}^2 + x_{\perp}^2)/3 + x_{\perp}^2 \Psi(x)} \times \\ \times \begin{cases} \frac{4}{9} (4x_{\parallel}^2 + x_{\perp}^2), & \parallel, \\ \left[ \frac{4x_{\parallel}^2 + x_{\perp}^2}{9} + x_{\perp}^2 \Psi(x) \right], & \perp. \end{cases} \quad (20)$$

Используя закон сохранения энергии при записи функции (17), можно упростить безразмерное выражение для нее:

$$\Psi(x) = \left[ \frac{1 + \Omega - x^2 (\gamma_1/2\gamma + 1)}{1 - \Omega + x^2 (\gamma_1/2\gamma + 1)} \right]^2. \quad (21)$$

У края фундаментального поглощения (при  $\Omega$ , близких к  $-1$ ) дают вклад лишь переходы в состояния  $v_+$ -зоны с эллипсоидальным энергетическим спектром, и из (20) получаются асимптотики спектральных зависимостей ( $\Omega > -1$ )

$$\Phi_{\parallel, \perp}^{(+)}(\Omega) \simeq a_{\parallel, \perp} \frac{\sqrt{1 + \Omega}}{(\gamma_1/2\gamma + 7/4) \sqrt{\gamma_1/2\gamma + 5/4}}, \quad a_{\parallel} = \frac{8\pi}{3}, \quad a_{\perp} = \frac{2\pi}{3}. \quad (22)$$

У порога включения переходов в  $v_-$ -зону (при  $\Omega$ , близких к  $+1$ ) (20) содержит медленно изменяющееся с частотой слагаемое  $\Phi_{\parallel, \perp}^{+}(1)$ , описывающее переходы в  $v_+$ -зону и резко анизотропные вклады от переходов в  $v_-$ -зону  $\Phi_{\parallel, \perp}^{(-)}(\Omega)$ , определяемые асимптотиками ( $\Omega > 1$ )

$$\Phi_{\parallel, \perp}^{(-)}(\Omega) \simeq \begin{cases} b_{\parallel} (\Omega - 1)^{5/2} \left( \ln \frac{1}{\Omega - 1} + \text{const} \right), & \parallel, \\ b_{\perp} \sqrt{\Omega - 1}, & \perp, \end{cases} \quad b_{\parallel} = \frac{8\pi}{9} \frac{(\gamma_1/2\gamma + 1)^2}{(\gamma_1/2\gamma + 3/2)^{7/2}}, \quad (23)$$

причем логарифмическая особенность для продольной поляризации возникает в (20) от импульсов, параллельных оси деформации; такой вид спектральной зависимости обусловлен запрещенным характером междузонного перехода в точке  $p=0$ , описываемым матричным элементом  $M_{\parallel}(v_-, p)$  из (16).

Численный расчет интегралов (20) дает (рис. 2) спектральные зависимости коэффициента поглощения для продольной и поперечной поляризаций. При этом интегрирование по угловой переменной, в качестве которой удобно взять второй полином Лежандра, выполняется с условием использования закона сохранения, а оставшиеся однократные (задача аксиально симметрична) интегралы вычислим для  $\gamma_1/2\gamma \approx 1.044$ , что соответствует InSb (рис. 2). Поскольку  $\Phi_{\pm}(0)$  порядка 1, структура расщепленного деформацией края фундаментального поглощения заметно отличается от структуры в случае отсутствия деформации. Для  $\Omega > 20-30$  можно использовать изотропную асимптотику (20), пропорциональную  $\sqrt{\Omega}$ , т. е. в высокочастотном пределе одноосное сжатие мало изменяет коэффициент фундаментального поглощения. Отметим также, что вблизи порога для излучения, поляризованного вдоль оси сжатия, практически несущественные переходы из  $v_{\pm}$ -зоны (сказывается запрещенный характер таких пере-

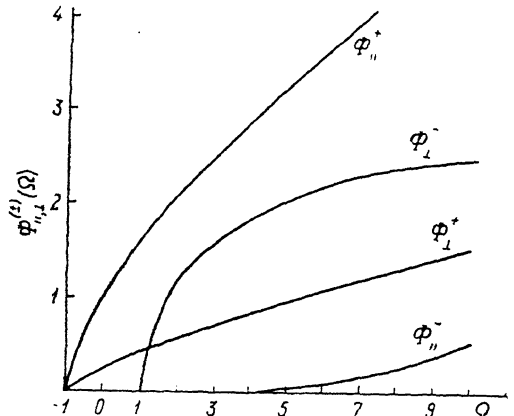


Рис. 2. Численный расчет интегралов (20) для InSb.

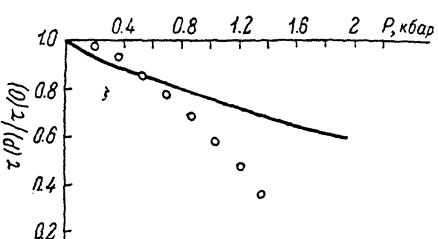


Рис. 3. Экспериментальная (точки из работы [4]) и теоретическая (кривая) деформационные зависимости времени излучательной рекомбинации.

ходов). В то же время для излучения, поляризованного в плоскости, перпендикулярной оси сжатия, должен наблюдаться весьма резкий излом спектральной зависимости.

5. Деформационные зависимости определяемых (15) времен излучательной рекомбинации неравновесных носителей вычислим, используя для них Больцмановские распределения с температурой  $T$ . Анизотропией электронного закона дисперсии (6) можно пренебречь, и выражение для  $f(\epsilon_{ep})$  будет стандартным, а распределение ненавырожденных дырок в  $v_{\pm}$ -зонах определится формулой

$$f(\epsilon_{v_{\pm}p}) = \frac{n_{\pm}}{N_{\pm}} \exp\left(-\frac{\epsilon_{v_{\pm}p}}{T}\right), \quad N_{\pm} = \frac{2}{V} \sum_p \exp\left(-\frac{\epsilon_{v_{\pm}p}}{T}\right), \quad (24)$$

в которой  $n_{\pm}$  — концентрации дырок в  $v_{\pm}$ -зонах, связанные с нормировочными постоянными  $N_{\pm}$  соотношением  $n_{+}/N_{+} = n_{-}/N_{-} = n_v/(N_v + N_{-})$ ,  $n_v = n_{+} + n_{-}$ . Для определяемых (15) времен излучательной рекомбинации  $\tau_k^{(n, p)}$  имеем

$$\tau_k^{(n, p)} = \frac{2}{\tau_r n_s V} \sum_{v_{\pm}p} f(\epsilon_{ep}) f(\epsilon_{v_{\pm}p}), \quad (25)$$

где  $i=v$  для материалов  $n$ -типа,  $i=c$  для материалов  $p$ -типа, а также использовано распределение дырок (24) вместо электронных чисел заполнения (как в п. 3).

В случае невырожденных материалов  $n$ - или  $p$ -типа выражения (25) различаются лишь входящими концентрациями, так что  $\tau_k^{(n)} \sim n_v$ , а  $\tau_k^{(p)} \sim n_c$ . Учитывая малость импульса дырок, участвующих в процессах рекомбинации, и переходя в  $N_{\pm}$  к определяемому (18) безразмерному импульсу, получим:

$$n_v \tau_k^{(n)} = n_c \tau_k^{(p)} = \tau_r N(T) / \Psi\left(\frac{s_1}{T}\right), \quad (26)$$

где введена характерная концентрация  $N(T) = 2(Tm/\gamma)^{1/2} / (2\pi\hbar)^3$ , а зависящий лишь от  $\epsilon_0/T$  безразмерный фактор

$$\Psi\left(\frac{\epsilon_0}{T}\right) = N(T) \left( e^{-\epsilon_0/2T} + e^{\epsilon_0/2T} \right) \left[ 2 \sum_{\pm} \int \frac{d\mathbf{p}}{(2\pi\hbar)^3} \exp\left(-\frac{\epsilon_0 + \mathbf{p}}{T}\right) \right]^{-1} \quad (27)$$

описывает уменьшение  $\tau_{\text{r}}^{(n, p)}$  за счет термализации дырок в  $v_+$ -зоне. Масштаб возрастания этой функции с ростом давления виден из асимптотик

$$\Psi(0) = 2(\gamma_1/2\gamma - 1)^{1/2}/\pi^{3/2}, \quad \Psi(\infty) = 1/\sqrt{2\pi^{3/2}}, \quad (28)$$

а дополнительное уменьшение (26) связано с уменьшением  $\tau_r \sim \epsilon_g^{-1}$  [см. (4) и (14)].

Для сильно вырожденного полупроводника  $n$ -типа

$$\tau_r/\tau_R^{(n)} = \Psi(\epsilon_0/T, \mu_e/T), \quad (29)$$

так что аналогичная (27) функция теперь сложным образом (через химический потенциал  $\mu_e$ ) зависит от концентрации  $n_e$ . Не приводя здесь громоздких общих выражений (29), сравним

$$\Psi\left(0, \frac{\mu_e}{T}\right) = \begin{cases} \frac{1}{8} \left( \frac{\mu_e}{T} \frac{\gamma_1/2\gamma - 1}{\gamma_1/2\gamma + 1} \right)^2, & \frac{\mu_e}{T} \frac{\gamma_1/2\gamma - 1}{\gamma_1/2\gamma + 1} \leqslant 1, \\ \frac{1}{4}, & \frac{\mu_e}{T} \frac{\gamma_1/2\gamma - 1}{\gamma_1/2\gamma + 1} \geqslant 1 \end{cases} \quad (30)$$

с результатом для больших ( $\epsilon_0/T \gg 1$ ) деформаций, когда правая часть (29) равна  $1/2$ . При малых концентрациях электронов [верхняя асимптотика (30)] время излучательной рекомбинации сильно падает с ростом деформации, так как работает механизм, аналогичный невырожденному случаю. Но в обратном предельном случае высоких концентраций, когда все дырки участвуют в излучательных переходах, время излучательной рекомбинации при переходе в область сильных деформаций в 2 раза возрастает.

Экспериментальные измерения деформационной зависимости  $\tau_R^{(n)}$  проведены в [4] на  $\text{Cd}_{0.29}\text{Hg}_{0.71}\text{Te}$  для  $T \geq 160$  К при концентрации  $n_e \approx 1.5 \cdot 10^{14} \text{ см}^{-3}$ . В таких условиях можно использовать формулы для невырожденного случая и, приняв  $\epsilon_0/P \approx 12$  мэВ/кбар,  $(\epsilon_g - \epsilon_g)/P \approx 9$  мэВ/кбар, выполнить численный расчет (27). Результаты расчета, представленные на рис. 3, демонстрируют не-плохое количественное согласие развитой теории с экспериментальными данными [4]. Такие измерения, как и исследование спектральных зависимостей фундаментального поглощения (выполняемые прямыми методами или по фотопроводимости), позволяют определить зависимость ряда деформационных параметров от ориентации деформации относительно кристаллографических осей и от состава  $\text{Cd}_x\text{Hg}_{1-x}\text{Te}$ . Появляется также возможность с помощью деформации управлять темпом междузонных фотопереводов носителей и их рекомбинацией.

Авторы благодарны С. Г. Гасан-заде и Г. А. Шепельскому за обсуждение экспериментальных результатов.

#### Список литературы

- [1] Бир Г. Л., Пикус Г. Е. Симметрия и деформационные эффекты в полупроводниках. М., 1972. 640 с.
- [2] Барабанский П. И., Дучал В. Я., Коломоец В. В., Черныш В. В. // ФТП. 1986. Т. 20. В. 11. С. 2112–2115. Германенко А. В., Миньков Г. М., Рут О. Э. // ФТП. 1987. Т. 21. В. 11. С. 2006–2012.
- [3] Баханова Е. В., Васько Ф. Т. // ФТП. 1987. Т. 21. В. 6. С. 1068–1074.
- [4] Васько Ф. Т., Гасан-заде С. Г., Стриха М. В., Шепельский Г. А. // Письма ЖЭТФ. 1989. Т. 50. В. 6. С. 287–290.
- [5] Zawadzki W. // Lect. Not. Phys. 1980. V. 133. P. 85–157.
- [6] Ландау Л. Д., Лифшиц Е. М. Теория упругости. М., 1965. 202 с.
- [7] Kane E. O. // J. Phys. Chem. Sol. 1957. V. 1. N 2. P. 249–261.
- [8] Yu P. V., Cardona M. // J. Phys. Chem. Sol. 1973. V. 34. N 1. P. 29–56.
- [9] Васько Ф. Т. // ФТП. 1975. Т. 9. В. 8. С. 1565–1569.

Институт полупроводников  
АН УССР  
Киев

Получена 12.02.1990  
Принята к печати 2.03.1990